

ФЕДЕРАЛЬНОЕ ГОСУДАРСТВЕННОЕ АВТОНОМНОЕ
ОБРАЗОВАТЕЛЬНОЕ УЧРЕЖДЕНИЕ ВЫСШЕГО ОБРАЗОВАНИЯ
«НАЦИОНАЛЬНЫЙ ИССЛЕДОВАТЕЛЬСКИЙ УНИВЕРСИТЕТ
«ВЫСШАЯ ШКОЛА ЭКОНОМИКИ»

Московский институт электроники и математики им. А.Н. Тихонова

Малютин Александр Альбертович

МОДЕЛИРОВАНИЕ ПРОСТРАНСТВЕННЫХ ЭВОЛЮЦИОННЫХ ИГР

Междисциплинарная курсовая работа
студента образовательной программы
«Прикладная математика»
группы БПМ-152

Подпись студента
А.А. Малютин

Руководитель
ученая степень, звание:

Е.А. Буровский,
доцент

Москва 2018 г.

Аннотация

Я изучаю динамику модели пространственных эволюционных игр, основанную на дилемме заключённого. Особенности игры заключаются в нескольких резких переходах между режимами, которые контролируются параметром взаимодействия между игроками, и нетривиальном изменении состояния игрового поля. Я исследую критические свойства полученных переходов и геометрические свойства возникающих структур игроков.

Abstract

I study the dynamics of a spatial evolutionary game based on cellular automata and use the prisoner's dilemma as rule for interaction. The game features a series of sharp transitions between several regimes, controlled by the interaction parameter between players, and non-trivial geometric rearrangements of the game field.

Оглавление

| | |
|---|----|
| Аннотация | 2 |
| Abstract..... | 2 |
| Оглавление | 3 |
| 1. Введение..... | 4 |
| 2. Теоретическая часть..... | 5 |
| 3. Практическая часть | 8 |
| 3.1 Модель | 8 |
| 3.2 Исследование модели | 8 |
| 3.3 Фрактальная размерность Минковского | 9 |
| 3.4 Треугольная решётка | 11 |
| 4. Заключение | 13 |
| 5. Список используемой литературы | 14 |
| 6. Приложение | 15 |

1. Введение

Моё исследование основывается на результатах полученных и описанных М.А.Новаком и Р.М.Мэйем в статье «Evolutionary games and spatial chaos» [1]. В работе описана сама модель пространственных эволюционных игр и описаны проведённые статистические исследования.

Модель описывает поведение двух видов игроков, расположенных в дискретном пространстве, на квадратной решётке. Первый тип – кооператоры(cooperator), второй – дефекторы(defector). Каждый игрок может взаимодействовать с восьмью ближайшими соседями. Взаимодействие описывается дилеммой заключённого: каждый игрок играет со своими соседями и подсчитывает свой выигрыш. После того, как все игроки проведут игру, исходя из своего полученного выигрыша, игроки выбирают новую стратегию следующим образом: игрок сравнивает выигрыши своих соседей и принимает стратегию того, чей выигрыш максимальный. Таким образом мы получаем дискретную динамическую модель, эволюционирующую со временем.

2. Теоретическая часть

Для того, чтобы разобраться как происходит игра, забудем про поле игроков, и посмотри на случай, когда у нас всего два игрока. Их взаимодействие описывается дилеммой заключённого и может быть представлено в виде матрицы:

| | | |
|-----|-----|-----|
| | C | D |
| C | 1 | 0 |
| D | b | 0 |

где C – кооператор, D – дефектор, а на пересечениях строк со столбцами стоят значения выигрыша, b – специальный параметр, влияющий на поведение системы, $1 < b < 3$.

Во избежание усложнения модели, мы можем допустить, что второй столбец равен нулю. Параметр b описывает выигрыш дефектора, при игре с кооператором.

Теперь играя друг с другом, игроки считают свой выигрыш, исходя из своей стратегии и стратегии своего оппонента. После этого они выбирают новую стратегию, самую выгодную на этом шаге: игрок смотрит на выигрыши своих оппонентов и берёт стратегию того, чей выигрыш максимальный.

Смоделируем ситуацию: играют два кооператора, после взаимодействия они получают выигрыш равный 1 каждый. Далее, выбор стратегии. Здесь всё тривиально, ничего не изменится, так как стратегия всего одна. Теперь допустим, что у нас кооператор и дефектор, теперь выигрыши составят 0 и b соответственно. И на этом шаге кооператор меняет стратегию на дефектора, так как она более выгодная.

Вернёмся к полю игроков: теперь каждый игрок может взаимодействовать с восьмью ближайшими соседями и сам с собой и выигрыш считается суммой всех выигрышей попарных игр. Система стартует из некоторого начального состояния, поле засеивается случайным образом кооператорами, с вероятностью 21%, и дефекторами, и при этом мы получаем непредсказуемое поведение системы.

Динамика системы зависит от значения параметра b . Из дискретности

природы возможных выигрышей следует, что существуют только дискретные точки перехода параметра b , которые влияют на динамику системы. Для $1 < b < 3$ эти переходы происходят в точках $9/8, 8/7, 7/6, 6/5, 5/4, 9/7, 8/6, 7/5, 6/4, 8/5, 5/3, 7/4, 9/5, 2, 9/4, 7/3, 5/2, 8/3$. Эти значения прямо вытекают из структуры связей между игроками (рис. 1).

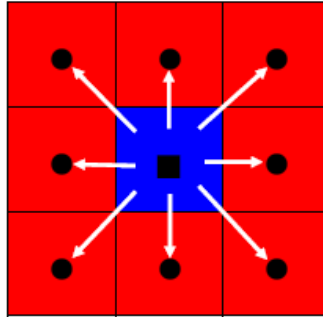


Рис. 1: Взаимодействие игроков на прямоугольной решётке.

Самой интересной точкой в системе является значение $b = 9/5$. В промежутке от $7/4$ до $9/5$, в системе существует несколько больших кластеров кооператоров, и «нити» из дефекторов, которые осциллируют в некоторых точках, но не меняя общего состояния, то есть система приходит в стационарное состояние (рис. 2).

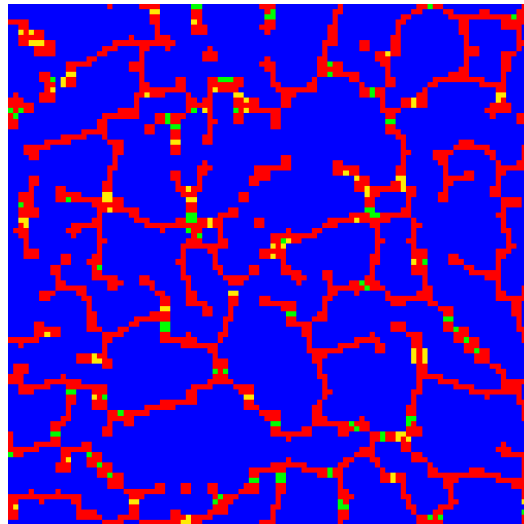


Рис. 2: Скриншот состояния системы при $b = 1.79$. Цвета соответствуют ссылкам [1, 2]: синий – C , красный – D , жёлтый – D , который был C на прошлом шаге, и зелёный – C , который был D на прошлом шаге.

Но при b в промежутке от $9/5$ до 2 , система ведёт себя хаотично, и не приходит в стационарное состояние (рис. 3а), а среднее значение плотности кооператоров в системе на бесконечности принимает определённое значение, при любых начальных условиях (рис. 3б).

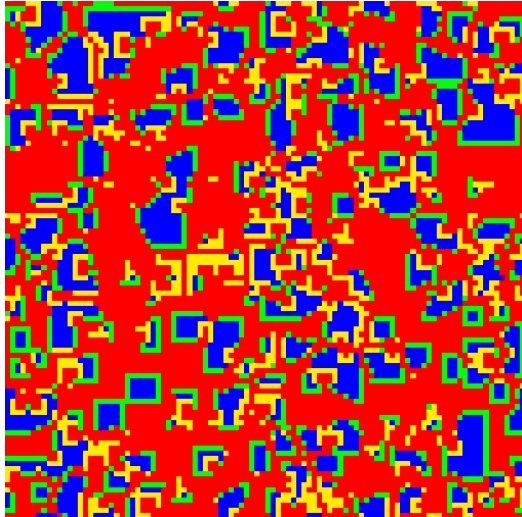


Рис. 3а: Скриншот состояния системы при $b = 1.81$. Аналогично рис. 2.

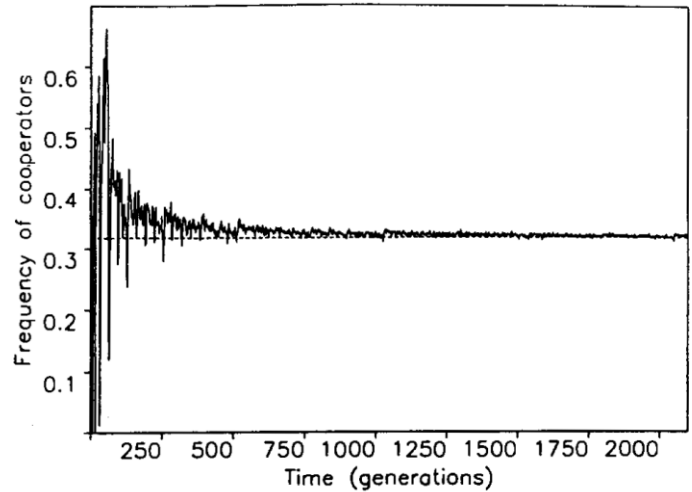


Рис. 3б: График зависимости плотности кооператоров от времени.

На рисунке 3б показано изменение среднего значения плотности кооператоров от времени, на котором можно видеть, что при больших временах это значение стремится к конечному числу, и это число $x = 12 \text{ Log } 2 - 8$ [1].

Так же было произведено измерение плотности кооператоров и в других точках [3]. Это измерение также выявило особенность в точке $9/5$.

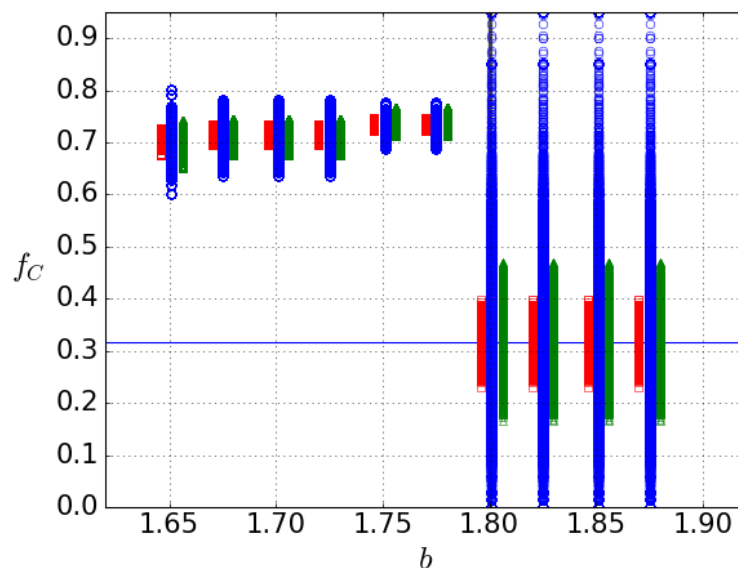


Рис. 4: Концентрация C для решёток размеров 20×20 (синий), 50×50 (зелёный), 100×100 (красный).

3. Практическая часть

3.1 Модель

Основным опорным документом в реализации модели является статья [1]. В ней описан сам, довольно простой, алгоритм игры, и его было не трудно реализовать на одном из известных мне языков программирования.

Первая реализация была написана на языке «C#» в среде «Unity3d». Язык оказался крайне удобен для первого приближения модели, а среда Unity3d была использована для визуализации (рис. 2 и 3а были созданы именно там). Моделирование производилось на ноутбуке.

Следующая реализация была написана на языке «C++», для суперкомпьютера «Мантитор», расположенного в «ВЦЧ РАН». Эта реализация потребовалась для симуляции модели с игровым полем размером $L \times L$ больше 1000×1000 , что занимало довольно много времени на ноутбуке.

Для оптимизации была написана программа на чистом «C», для симуляции игрового поля экстремального размера $L \times L = 50.000 \times 50.000$, для подтверждения тенденции измеряемых показателей.

3.2 Исследование модели

Главным исследуемым параметром была выбрана фрактальная размерность Минковского границ кластеров. Кластеры – это группы игроков, имеющих одинаковую стратегию и расположенных рядом с друг другом.

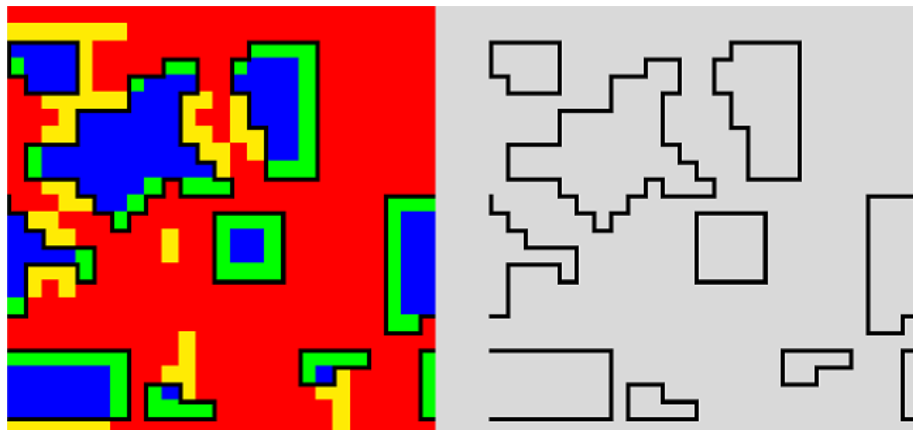


Рис. 5: Чёрные линии являются границей кластеров.

Задачей было установить зависимость этой величины от параметра b . Для этого нужно было запрограммировать метод получения карты границ и сам метод измерения фрактальной размерности.

3.3 Фрактальная размерность Минковского

Проведя исследование, оказалось, что фрактальных размерностей в природе много, и было трудно выбрать подходящую. В итоге выбор пал на размерность Минковского или Box-Counting Dimension, которая определяется следующим образом:

$$\dim_{box}(S) = \lim_{\epsilon \rightarrow 0} \frac{\log N(\epsilon)}{\log(1/\epsilon)}$$

где $N(\epsilon)$ минимальное число квадратов размера ϵ , нужное для покрытия границы кластера, как показано на рисунке 6.



Рис. 6: Оценка размерности Минковского побережья Великобритании.

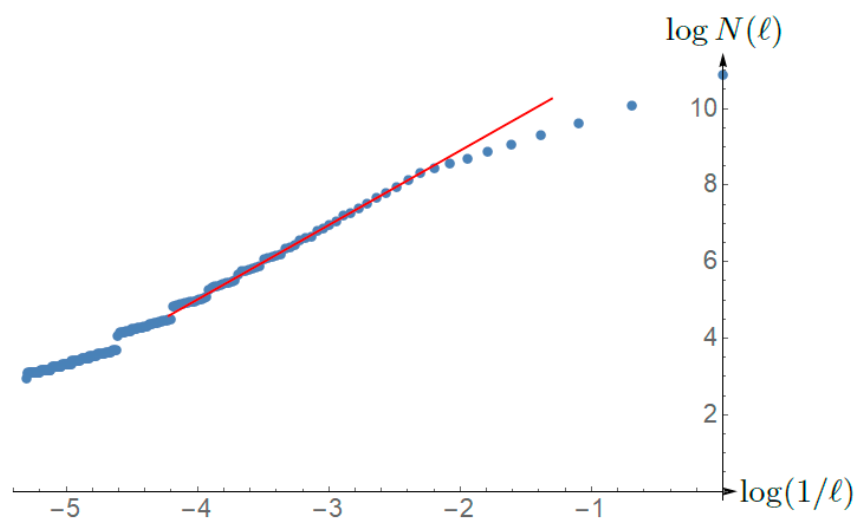


Рис. 7: Логарифмический график зависимости количества квадратов и их размера для системы размера 1000×1000 .

На рисунке 7 изображены точки, показывающие зависимость минимальное количество квадратов нужное для покрытия границ кластеров и размера квадратов. Теперь нужно построить аппроксимацию этого графика. Как можно заметить, не все точки пригодны для аппроксимации по следующим причинам. Правая часть графика – покрытие квадратами маленького размера, размерами сопоставимыми с толщиной границы и, если аппроксимировать эту часть графика, мы получаем наклон прямой 1. В левой части графика квадраты, наоборот, очень большие, и здесь даёт шумы дискретность самой модели. Поэтому мы не берём в расчёт левую и правую часть графика при аппроксимации. Наклон полученной прямой и является размерностью Минковского.

Я использовал этот метод для систем различных размеров. Результат оказался неожиданным: для обоих режимов $\dim_{box} \rightarrow 2$ при $L \rightarrow \infty$.

| Size | $b = 1.79$ | $b = 1.81$ |
|-------------|-------------|-------------|
| 100 × 100 | 1.77639(48) | 1.38031(70) |
| 200 × 200 | 1.76214(30) | 1.76215(45) |
| 500 × 500 | 1.93572(07) | 1.93568(07) |
| 1000 × 1000 | 1.95718(03) | 1.95721(02) |

Таблица 1: Dim_{box} для систем размеров 100×100, 200×200, 500×500, 1000×1000.

Из этих данных следует вывод, что граница кластеров является кривой, заполняющей всё пространство. Для режима при $b > 9/5$ этот исход вполне очевидный, но не для режима при $b < 9/5$, так как структура границы совсем не похожа на такую кривую. Но в самом деле, если взглянуть на границу системы очень большого размера, можно видеть такую кривую.

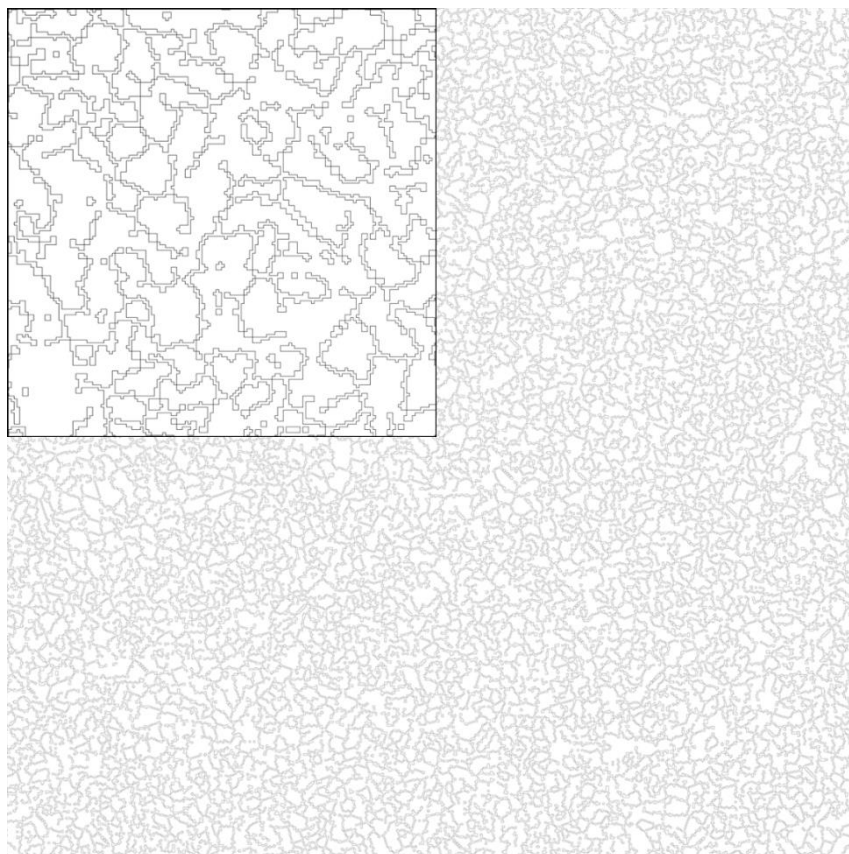


Рис. 8: Скриншот границ кластеров системы размера $L \times L = 1000 \times 1000$ при $b = 1.79$.

3.4 Треугольная решётка

Измерение фрактальной размерности границ кластеров дало не тривиальный результат. Требовалось понять, почему граница ведёт себя как линия, заполняющая всё пространство. Было решено поменять структуру локальных связей: вместо квадратной решётки использовать треугольную.

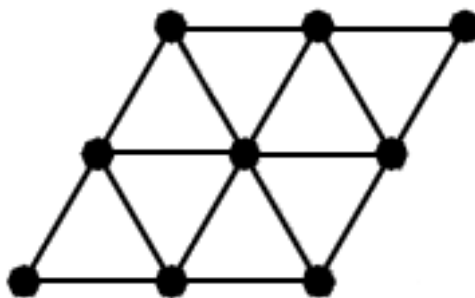


Рис. 9: Треугольная решётка, игроки находятся в узлах решётки.

Используя такую модель, у игроков меняется количество связей с соседними игроками: в квадратной решётке их восемь, а в треугольной – шесть.

Теперь нужно провести аналогию с задачей на квадратной решётке, и найти аналогичные режимы и точку фазового перехода. Построим график плотности кооператоров, как и в исходной задаче: система так же стартует из случайного состояния, с вероятностью 21% появления кооператоров.

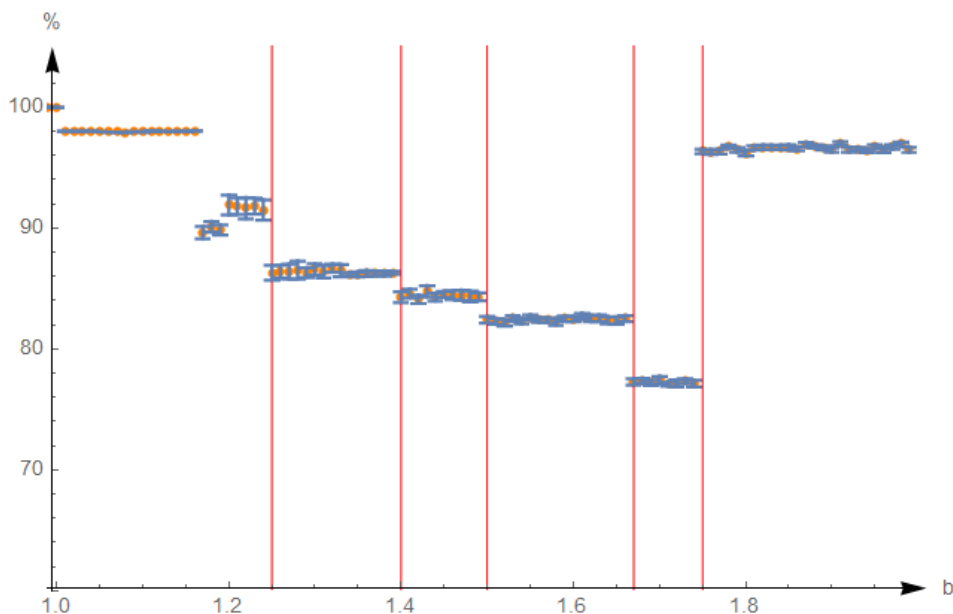


Рис. 10: Концентрация C для треугольной решётки размера 250×250 .

Как можно видеть по рисунку 10, в системе с треугольной решёткой обнаружены скачки плотности. Так же существенное отличие от квадратной решетки: во всех режимах наблюдается стационарная картина. Из этого следует, отсутствие режима динамического равновесия, соответствующий режиму $9/5 < b < 2$ квадратной решетки.

Был обнаружен режим, при котором дефектор, стоящий в центре в поле из кооператоров, бесконечно растёт, и наблюдаются изолированные кластеры кооператоров определенной формы (рис. 11). Кластеры такой формы выживают в том случае, если рядом с ними, на расстоянии двух узлов, находится другой такой же.

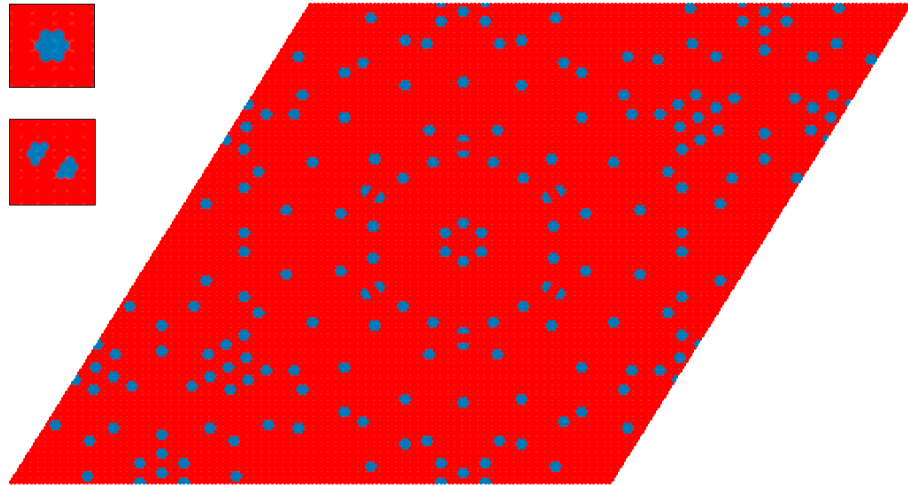


Рис. 11: Скриншот состояния системы размера 150×150 при $b=2.34$. Синим цветом обозначены ко-операторы, красным – дефекторы. Справа формы устойчивых кластеров при данном режиме.

4. Заключение

Таким образом отличие размерностей Минковского границ кластеров режимов при $b > 9/5$ и при $b < 9/5$ существует только при малых размерах, но при $L \rightarrow \infty$ $\dim_{box} \rightarrow 2$ для обоих режимов. Треугольная решётка дала новые данные для исследования, хотя и не похожие на результаты квадратной решётки, но система сама по себе имеет интересную динамику и требует дополнительного исследования.

5. Список используемой литературы

- 1) M.A. Nowak and R.M. May. *Evolutionary games and spatial chaos*. Nature **359**, page 826, (1992).
- 2) M.A. Nowak and R.M. May. *The spatial dilemmas of evolution*. Int. J. Bifurcation and Chaos 3(1), pages 35–78, (1993).
- 3) Sergei Kolotev, Aleksandr Malyutin, Evgeni Burovski, Sergei Krashakov, Lev Shchur, *Dynamic fractals in spatial evolutionary games*, Physica A: Statistical Mechanics and its Applications **499**, pages 142-147, (2018).

6. Приложение

Программа на C++

Ссылка на репозиторий: <https://github.com/AlezM/spatial-games-c>

```
#include <iostream>
#include <math.h>
#include <vector>
#include <ctime>
#include <fstream>

using namespace std;

//Type: fasle - Cooperator, true - Deffector
class Tile {
public:
    bool type;
    double score;
    Tile() : type(false), score(0) {};
    Tile(bool _type) : type(_type), score(0) {};

    void InterractWith(Tile member, double b) {
        if (member.type == 0) {
            if (type == 0)
                score += 1;
            else
                score += b;
        }
    }

    void SetType(bool _type) {
        type = _type;
    }
};

int main() {
    int mapSize = 25000;
    double b = 1.79;
    vector<Tile> map;
    vector<Tile> newMap;

    double defectorsSpawnPercentage = 21;
    string seed;

    int borderMapScale = 10;
    vector<bool> borderMap;

    int startSize = 1;
    int finishSize = 500;
    int step = 1;

    map.resize(mapSize*mapSize, Tile(0));
    borderMap.resize(mapSize*mapSize, false);

    // SetUp
    srand(time(0));
    for (int i = 0; i < mapSize*mapSize; i++) {
        map[i] = (1 + rand() % 100 < 21) ? Tile(true) : Tile(false);
    }
    cout << "> Map set up." << endl;

    //////////////////////////////////////

    // Generations
    for (int i = 0; i < 200; i++) {
```

```

//Scores
for (int i = 0; i < mapSize*mapSize; i++) {
    for (int x = -1; x < 2; x++) {
        for (int y = -1; y < 2; y++) {
            int memberX = ((i + x) + mapSize) % mapSize;
            int memberY = (((i / mapSize) + y) + mapSize) % mapSize;

            map[i].InteractWith(map[memberX + memberY * mapSize], b);
        }
    }
}

newMap.insert(newMap.begin(), map.begin(), map.end());

for (int i = 0; i < mapSize; i++)
{
    for (int j = 0; j < mapSize; j++)
    {
        //Search for the reachest member
        int newType = map[i + j * mapSize].type;
        double maxMemberScore = 0;
        bool uncertainty = false;
        for (int x = -1; x <= 1; x++)
        {
            for (int y = -1; y <= 1; y++)
            {
                int memberIndex = (i + x + mapSize) % mapSize + (j + y +
mapSize) % mapSize * mapSize;

                double memberScore = map[memberIndex].score;
                int memberType = map[memberIndex].type;

                if (memberScore > maxMemberScore)
                {
                    maxMemberScore = memberScore;
                    newType = memberType;
                    uncertainty = false;
                }
                else if (memberScore == maxMemberScore && newType != member-
Type)
                {
                    uncertainty = true;
                }
            }
        }
        newMap[i + j * mapSize] = Tile(newType);
    }
}

for (int i = 0; i < mapSize*mapSize; i++) {
    newMap.at(i).score = 0;
}

map.clear();
map = newMap;
newMap.clear();
}

cout << "> Map ready." << endl;

////////////////////////////////////
// BorderMap

int borderMapSize = borderMapScale * mapSize;

borderMap.resize(borderMapSize * borderMapSize);

for (int i = 0; i < mapSize; i++)

```



```

    {
        for (int j = 0; j < mapSize; j++)
        {
            if (map[i + j * mapSize].type != map[(i - 1 + mapSize) % mapSize + j * map-
Size].type)
                {
                    for (int k = borderMapScale * j; k < borderMapScale * (j + 1) + 1; k++)
                    {
                        borderMap[i * borderMapScale + k % borderMapSize * mapSize] = true;
                    }
                }
        }

        for (int i = 0; i < mapSize; i++) {
            for (int j = 0; j < mapSize; j++) {
                if (map[j + i * mapSize].type != map[j + (i - 1 + mapSize) % mapSize * map-
Size].type) {
                    for (int k = borderMapScale * j; k < borderMapScale * (j + 1) + 1; k++) {
                        borderMap[k % borderMapSize + i * borderMapScale * borderMapScale]
= true;
                    }
                }
            }
        }

        cout << "> Border map ready." << endl;

        map.clear();

//////////

        vector<bool> filledBoxes;
        ofstream fout("out_179_20k.txt", ios_base::trunc);

        filledBoxes.resize(borderMapSize * borderMapSize);

        for (int b = startSize; b <= finishSize; b += step)
        {
            // Filling Boxes
            size_t hCount = borderMapSize / b; //Hight
            size_t wCount = borderMapSize / b; //Width

            for (size_t x = 0; x < borderMapSize; x++) {
                for (size_t y = 0; y < borderMapSize; y++) {
                    if (borderMap[x + y * borderMapSize]) {
                        size_t xBox = x / b;
                        size_t yBox = y / b;
                        filledBoxes[xBox + yBox * borderMapSize] = true;
                    }
                }
            }

            // Counting Boxes
            size_t a = 0;
            size_t fbSize = sqrt(filledBoxes.size());
            for (size_t i = 0; i < fbSize; i++) {
                for (size_t j = 0; j < fbSize; j++) {
                    if (filledBoxes[i + j * fbSize]) {
                        a++;
                    }
                }
            }

            for (size_t x = 0; x < borderMapSize; x++) {

```

```
        for (size_t y = 0; y < borderMapSize; y++) {
            filledBoxes[x + y * borderMapSize] = false;
        }
    }

    cout << "|";

    fout << "{" << b << ", " << a << "}," << endl;
}
cout << "\nComplete.\n";
fout.close();

return 0;
}
```